

九州大学工学部 正員 粟谷陽一  
 同 学生員 楠田哲也  
 同 同 ○江副章太介

### 1 まえがき

水処理のフロックフランケット法におけるように、上向流中にフロックが高濃度で存在する場合には、フロックの沈降に伴ない乱れの場が生じる。この乱れの場におけるフロックは、フロック相互の結合で成長すると同時に、他方では破壊を起しながら、平衡状態となっている。このフロックの結合及び破壊の機構と、上向流速との関係を調べる事を目的とした。これらの関係を調べるために乱れの場の動的条件のもとで、

1. フロックの劣化現象
2. 上向流中のフロックの再結合係数と破壊係数
3. 水量負荷変動によるフロック破壊量の変化

の3つを取り上げた。

### 2 簡単化した破壊理論

フロックフランケット内に鉛直上方にx軸をとり、原点をフランケット底面にとる。フロックフランケットを形成するフロックは、多くのフロック群（主要な部分をなし、濃度はC）と、破壊した若干の小フロック（濃度はc）とから成りたっていると考える。フロック群は、上向流速と沈降速度で、平衡を保つが、破壊フロックは、沈降速度がきわめて小さいのでこれを無視すると、上向流速で流し出されることになる。この時  $c \ll C$  であるとすると、破壊したフロックが、フロック群に吸収されて、その一部となる割合は、

$$\alpha \text{を const.として, } \alpha \cdot c \cdot C$$

破壊を起すフロックの割合は、

$$\beta \text{を const.として, } \beta \cdot C$$

である。この時、 $\alpha$ を再結合係数、 $\beta$ を破壊係数と名付ける。

したがって、Uを上向流速として定常状態を考えると、

$$\frac{dc}{dt} = U \frac{dc}{dx} = -\alpha \cdot c \cdot C + \beta \cdot C \quad (1)$$

$\alpha = 0$  で  $C = 0$  とすれば、(1)式は

$$C = \frac{\beta}{\alpha} \left( 1 - e^{-\frac{\alpha C}{U} x} \right) \quad (2)$$

フロックフランケットの高さをHとする。

$$\frac{dH}{dt} = -\frac{U}{C} \cdot C \Big|_{x=H} = -\frac{\beta \cdot U}{\alpha \cdot C} \left( 1 - e^{-\frac{\alpha C}{U} H} \right) \quad (3)$$

ここで、 $H \rightarrow \infty$  とすると、 $\frac{dH}{dt} \rightarrow -\frac{\beta U}{\alpha C}$  となる。

$H \rightarrow 0$  での、フランケットの減少速度の  $H$  に対する微係数は、

$$\frac{d}{dH} \left( \frac{dH}{dt} \right)_{H \rightarrow 0} = -\beta \quad (4)$$

(4) の微係数をもち、原点を通る直線と、(3) の漸近線との交点の  $x$  座標を、フロックの破壊量の変化、 $\frac{d}{dH} \left( \frac{dH}{dt} \right)$  が、急変するといふ意味で、限界高さと名付ける。

限界高さ  $h_c$  は、

$$h_c = \frac{U}{\alpha C} \quad (5)$$

フロックフランケットの濃度は  $C$  で近似できるので (3), (4) から  $x$  及び  $\beta$  が求まり、(5) から  $h_c$  が求まる。

破壊したフロックはフランケット境界面から、上澄水の方へ上昇していく。このフロックは上昇中、互いに衝突合体し成長する。このフロックがあら粒径にまで達すると、上向流速より沈降速度が大きくな

り、逆に沈降し始める。したがって破壊フロックの上方への輸送量が、補集器とフランケット境界面との距離によって変化する。よって破壊量を求めるため、境界面直上に補集器を設けた場合、両者の距離によって、破壊量に見かけ上差を生じる事になるので、両者間の距離には特に注意を要する。

### 3. 実験装置、方法

高さ 4 m、内径 58.2 mm のアクリル樹脂管を用い、その管の下端に G.I. のプラスフィルターを設置した。ヘッドタンクを通った水は、流量計とニードルバルブを通して後、このフィルターを通して管内を上昇し、破壊されたフロックを採取するために設置された補集器の出口に取付けられたゴム管を通してオーバーフローする。なお破壊フロックはフランケット境界面直上の上澄水中に置かれた補集器によって常に補集され、フランケット中を上昇してきた水と共にオーバーフローする。この管の上端から下端まで、スライド可能な、光源とフォトトランジスタを持った台を取り付け、フロックフランケットのレベルが電気的に測定可能なよう 1 cm 間隔に接点を取り付けた柱を管に平行に設けた。フォトトランジスタは、光源の、フロックからの反射光のみを受光するようになっている。したがって、フォトトランジスタからの電流とフロック濃度とは比例するものと考えられる。なお、使用フロックは室内水道水に指宿小谷産カオリイン 5.0% を混和した原水に、硫酸バンド及びセバランを注入後、水平攪拌式ジャーティスタにて 300 r.p.m. で 10 分間、60 r.p.m. で 20 分間攪拌し、5 分間静置後、上澄水をすべて得たものである。フロック濃度は、(単位面積当たりのフロック質量)/(フランケット高さ) でおめた。フロック質量は実験中に、実験の組毎にとった、破壊フロックを含んだオーバーフロー水、及び実験終了後、管内に残ったフロック懸濁水を乾燥させて測ったものである。フランケット内の上向流速の測定は、フランケットの定常時に行なった。管最下端より飽和食塩水を注入し、管側壁に等間隔に取付けた電極の電気伝導度のチャートをもとにして、電極間を食塩水の全量の  $1/2$  が流れると要した時間から、フランケット内の真の上向流速を求めた。

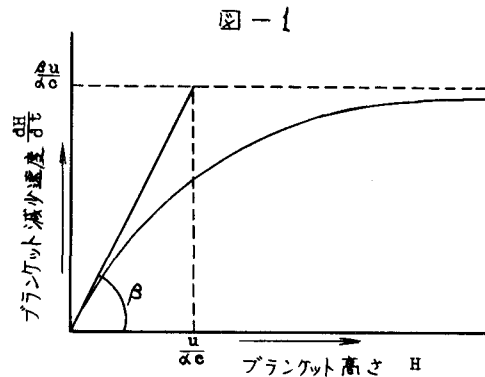


図-1

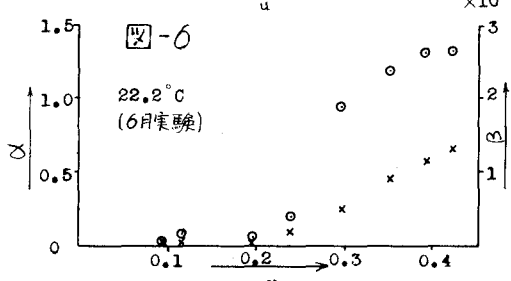
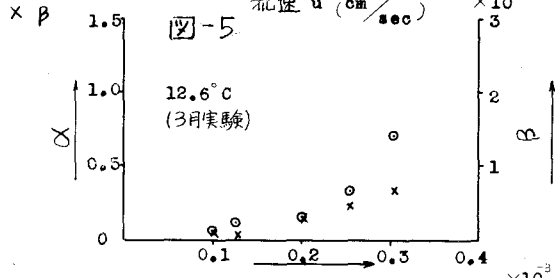
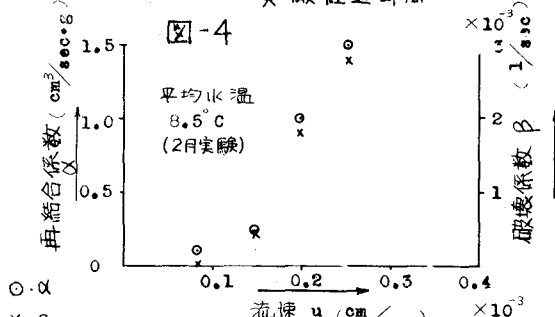
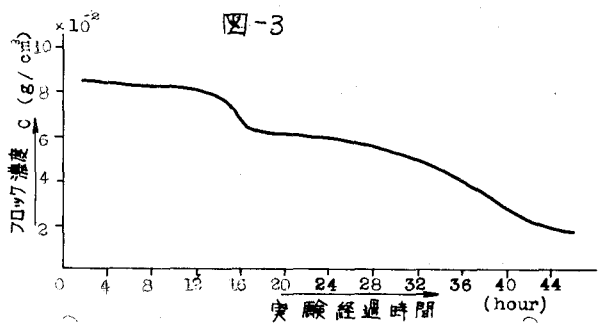
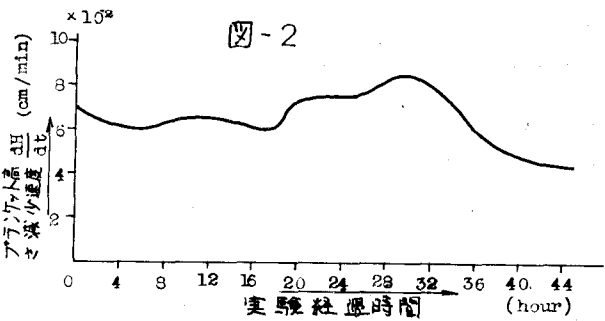
#### 4. 実験結果・考察

##### 4-1 フロックの物化現象

管内のフロックを上向流中で長時間にわたって曝露すると、図-2,3 のように、実験開始後は時間たつと、スランケット境界面の高さの減少速度が増加し、30時間後に最大値をとった。後はスランケット境界面の高さの減少のため次第に減少を続ける。フロック濃度は、最初は 0.08 g/cm<sup>3</sup> であるが、14 時間後に急に減少し始め 0.06 g/cm<sup>3</sup> 程の濃度となり、10 時間程度ほぼ一定であるが、実験開始後約 28 時間経過すると再び減少をし始め、次第に減少の一途をたどった。この時の流速は、0.16 cm/sec. である。このフロック性質の変化の原因は、まだ解明していないが、水道水による長時間の実験による洗浄がフロックを物化させていると考えられる。したがってこの種のフロック実験は、フロックが最初の性質を維持していながら行うのがよいと考えられる。

##### 4-2 上向流中のフロックの再結合係数、破壊係数

フロックスランケット境界面の高さと破壊速度の関係を図-1 に示す。前述の理論より  $(\frac{dH}{dt})_{H \rightarrow \infty} = -\frac{\beta u}{\alpha C}$ ,  $H_c = \frac{u}{\alpha C}$ ,  $\frac{d}{dt}(\frac{dH}{dt})_{H \rightarrow \infty} = -\beta$  はすべて、図-1 より求まる。これより、流速  $u$  と再結合係数  $\alpha$ 、流速  $u$  と破壊係数  $\beta$  の各々の関係は、図-4, 5, 6、に示す。図-4 の実験月日は 2 月で、実験中の学内水道水の平均水温は、8.5°C、図-5 は 3 月実験で、平均水温、12.6°C、図-6 は 6 月実験で、平均水温は 22.2°C のものである。これらより、流速減少に伴ない、再結合係数、破壊係数は共に減少してい



ることがわかる。又、破壊を無視しうるとみなされる点（フロック間の空隙が急激に減少すると考えられる点）は、水温が、 $8.5^{\circ}\text{C}$ 、 $12.6^{\circ}\text{C}$  と低い時の実験では、流速が、 $0.08 \text{ cm/sec.}$  程度であるのに對して、 $22.1^{\circ}\text{C}$  と水温が高くすると、流速は、 $0.1 \text{ cm/sec.}$  とわずかにがら高くなっている。この事は、冬季と夏季とでは、フロックの性質が異なり、夏季のフロックは、冬季のものに比べて破壊されにくくと考えられる。これは、夏季の破壊係数  $\beta$  が、冬季のものよりも、かなり小さな値からも分かると思われる。又、再結合係数  $\alpha$  の値は、破壊係数  $\beta$  の値に伴なって増加している。 $\alpha$  は再結合係数であるが、これはこの場合、附着効率に比例しているので、 $\alpha$  を附着効率とみなすと、夏季においては、フロック粒径が大きく、フロックが沈降しやすくなると同時に、破壊係数も冬季に比べて、値が小さくなっている。又、冬季における  $\beta$  の値は、夏季における  $\beta$  の値に比べて、値が小さくなっている。しかし冬季においては、フロック間の附着効率は、夏季とあまり変化はないが、フロック粒径が小さく、破壊の起りやすいつつある。

#### 4-3. 水量負荷変動によるフロック破壊量の変化

これは図-7に示す。2月、3月、6月と、水温上昇に伴なって、同じ流速であっても、フロック破壊量が減少しているのがわかる。これは、前述した、水温が低い時よりも、高い時の方が、同じ流速であっても、破壊係数  $\beta$  が小さいという事からも推定できる。

#### 5. 結び

以上の実験結果及び考察を要約すると、

1. この種のフロック実験は、フロックが最初の性質を維持している間（水道水実験で約12時間内）に行うのがよいと考えられる。

2. 破壊係数の冬季と夏季における相異は、再結合係数のそれよりも、図より明らかであるが、再結合係数に関しては、まだ不明な点があるんで、今後の実験の対象をしたい。

図-7

